

## دراسة تأثير عمق الماء الذيلي في الجرف مؤخر الهدارات الركامية المحمية

إبراهيم عادل إبراهيم محمد الحافظ<sup>1</sup>

تحسين علي حسن جلمران<sup>2</sup>

### الملخص

أُجريت في هذا البحث دراسة مختبرية لتأثير عمق الماء الذيلي في الجرف في الأرضيات الحصوية مؤخر الهدارات الركامية المحمية، وقد تضمنت الدراسة حساب أقصى عمق نحر و أقصى طول لحفرة الجرف، ودراسة شكل الجرف الحاصل مؤخر هذه المنشآت. استخدمت ثلاثة أحجام من الحصى بمعدل أقطار (0.7935، 1.111، 1.5875) سم، لحماية الأرضية مؤخر المنشأ ذي ميل (IV:5H)، الأحجام كلها من الحصى.

بيّنت نتائج التجارب أنّ هناك علاقة عكسية بين عمق حفرة الجرف وطولها مع النسبة بين عمق الماء الذيلي إلى معدل قطر مواد القاع ( $Tw/dm$ ). وتم الحصول على معادلين وضعفين، الأولى - لحساب عمق الجرف النسبي ( $Ds$ ) والثانية لحساب طول حفرة الجرف النسبي ( $Ls$ ).

<sup>1</sup> مدرس مساعد - مركز بحوث السدود والموارد المائية - جامعة الموصل.

<sup>2</sup> مدرس مساعد - مركز بحوث السدود والموارد المائية - جامعة الموصل.

## 1. مقدمة

$T_w = \text{عمق الماء الذيلي}$ .  
 $d = \text{طول ضلع مكعب المادة المستخدمة في حماية الأرضية مؤخر الماسقط العمودية}.$   
 كما طورت صيغة أخرى لحساب عمق الجرف من قبل الباحث مارتنز (Martins, 1973) (مذكور في 1985, Mason and Kanapathipilly) واستنتج من تجارب تضمن تصريف بثق مركز على أرضية عريضة مكونة من مكعبات مكعبة كما في المعادلة الآتية:

$$D_s = 0.14 N - 0.73 \frac{T_w^2}{N} + 1.7 T_w \dots (2)$$

إذ إن :

$$N = 7 \sqrt{\frac{Q^3 H^{1.5}}{d^2}} \dots (3)$$

إذ إن :

$Q = \text{التصريف الكلي}$

كما أعطى مكتب الولايات المتحدة الأمريكية للاستصلاح (U.S. Bureau of Reclamation, 1995) معادلة لحساب عمق الجرف مؤخر الماسقط العمودية

وهي :

$$D_s = k H^{0.225} q^{0.54} - T_w \dots (4)$$

إذ إن :

$k = \text{معامل يساوي } (1.9)$ .

كما قام الباحث (داؤد، 1995) بدراسة تأثير تغير مستوى الماء في النهر في عمق الجرف الناتج من سقوط الماء من المطحنة القافز. وقد أجرى خمسين تجربة في قناة مختبرية ذات قعر متحرك من الرمل النهري الطبيعي، وكان معدل قطر حبيبات الرمل المستخدم 0.75 ملم. كما استخدم الباحث تصريفاً ثابتاً للمطحنة القافز مقداره (3.57 لتر / ثا)، وخمسة تصريفات مختلفة في القناة تراوحت بين (0.67 لتر/ثا

لغاية الإرواء في مقدمة الهدار). تعد الهدارات الركامية من المنشآت الهيدروليكيّة المهمة المقامة على الأنهر والقنوات المفتوحة للسيطرة على المياه وقياس التصريف ورفع مستوى الماء

لغرض الإرواء في مقدمة الهدار.

طور تصميم الهدارات الركامية ذات الجريان الفوقي بحيث تكون أكثر اقتصادية في إنشاء الهدارات، وذلك كونها ذات مسيل ذاتي ولا تحتاج إلى مسيل مائي تقليدي، وفي الوقت ذاته يؤدي جريان الماء فوق السطح الخشن إلى الحماية والتقاءه مع الجريان الخلالي في الجزء الأخير من السطح المؤخر إلى تبديد الطاقة وتهيئة الجريان في مؤخر الهدار للحصول على أقل ضرر للتعرية والجرف (حياوي، 2006).

يعد الماء الذيلي من العناصر المهمة التي تساعده على تقليل طول حفرة الجرف وعمقها. وعليه درس في هذا البحث تأثير أعمق متعددة من الماء الذيلي للتصريف والميل نفسه في عملية الجرف الحاصلة مؤخر الهدار الركامي المحمي لثلاثة أنواع من الحصى.

## 2. الدراسات السابقة

قام الباحث جيكر (Jaeger, 1939) باشتباك معادلة اعتمدت في حساب عمق الجرف مؤخر الماسقط العمودية على المتغيرات ( $q, H, d$ ) مضافة إليها عمق الماء الذيلي  $T_w$  وقد توصل إلى الصيغة الآتية:

$$D_s = 0.6 q^{0.5} H^{0.25} \left( \frac{T_w}{d} \right)^{0.333} \dots (1)$$

إذ أن :

$D_s = \text{عمق الجرف مؤخر الهدار}.$

$q = \text{التصريف لوحدة عرض}.$

$H = \text{الفرق بين مستوى الماء مقدم ومؤخر الهدار}.$

وتوصلا إلى معادلات لحساب عمق حفرة الجرف وطولها بدلالة رقم فرود لكثافة مواد القاع والفرق بين سطح الماء مقدم الهدار ومؤخره وارتفاع الهدار فضلاً عن دراسة تأثير ارتفاع الماء الذيلي في حفرة الجرف وتوصلا إلى علاقة خطية عكسية بين عمق حفرة الجرف وطولها وبين ارتفاع الماء الذيلي.

$$\frac{D_s}{D_{50}} = 0.6255 \times \left( \frac{(Fr_o)^{1.144} \times (H)^{0.296} \times (P)^{0.42018}}{(T_w)^{0.71618}} \right) \dots (7)$$

$$\frac{L_s}{D_{50}} = 4.0268 \times \left( \frac{(Fr_o)^{0.9825} \times (P)^{0.7067}}{(T_w)^{0.3401} \times (H)^{0.3666}} \right) \dots (8)$$

إذ إن:

$L_s$  = طول حفرة الجرف.

$D_{50}$  = معدل قطر مواد القاع.

$Fr_o$  = رقم فرود بدلالة كثافة مواد القاع.

$P$  = ارتفاع الهدار.

### 3. التحليل البعدي

اعتمد عمق الماء الذيلي كمتغير أساسي لدراسة تأثيره في عمق حفرة الجرف وطولها مع تثبت كل من التصريف والميل لهذا اعتمدت المتغيرات الآتية كمتغيرات أساسية في المعادلة:

$$D_s = f(dm, \rho_s, \rho_w, \mu, g, T_w) \dots (9)$$

إذ أن :

$dm$  = معدل قطر مواد القاع.

$\rho_s$  = كثافة مواد القاع.

$\rho_w$  = كثافة الماء.

$\mu$  = الزوجة التحريرية للماء.

$g$  = تسارع الجاذبية الأرضي.

وباستخدام نظرية بأي للتحليل البعدي يمكن صياغة

العلاقة (9) على النحو الآتي:

$$\frac{D_s}{dm} = f\left(\frac{T_w}{dm}, \frac{\rho_s}{\rho_w}, Re, Fr\right) \dots (10)$$

- 2.804 لتر/ث)، وفي كل تصريف تم التحكم بعمق الماء وتغييره عشر مرات باستخدام بوابة الكسح المثبتة في نهاية القناة. أظهرت نتائج دراسته أن عمق الجرف يقل بزيادة عمق الماء الذيلي مع بقاء تصريف المطفع والقناة ثابتة، وأن نسبة الانخفاض في العمقة تراوحت بين (5.4% - 56.6%) من عمق الجرف الأولى بزيادة في عمق الماء في القناة تراوحت بين (14% - 114%) من العمق الأولى للماء، كما درس الباحث العلاقة بين عمق الجرف وقطر المواد المستخدمة ورقم فرود وقد لاحظ وجود علاقة عكسية بينهما.

وتوصل الباحث داؤد إلى علاقة لا بعديّة لحساب عمق الجرف وبمعامل ارتباط (0.996) وهي:

$$\frac{D_s}{D_m} = 1.217 F + 0.00009191 \frac{V}{V} + 0.274 \frac{H'}{D_m} - 0.4 \dots (5)$$

$D_m$  = معدل قطر مواد القاع.

$H'$  = المسافة العمودية بين خط الطاقة في المُسْبِل وسطح الماء في القناة (مقدار السقوط).

$V$  = معدل سرعة الجريان في منطقة سقوط ماء المُسْبِل.

$v$  = سرعة الماء الساقط من المطفع عند ارتطامه بسطح الماء في القناة.

$F$  = رقم فرود.

وكذلك حصل الباحث (داود، 1995) على المعادلة الآتية لحساب عمق الجرف وبمعامل ارتباط (-0.978):

$$D_s = 1.912 * 10^{-5} \frac{T_w^{0.0197} H^{3.433}}{V^{0.0276}} \dots (6)$$

قام الباحثان نوري والحافظ (Noori and Al-Hafith, 2005) بدراسة مكتفة للنهر في الأراضي الحجرية مؤخر الهدارات المثلثية من المنظور الأفقي،

القناة في مقدمتها بحوض التغذية بأبعاد  $2.25 \text{ m} \times 1.25 \text{ m}$  وبعمق  $1.2 \text{ m}$ ، حيث يصل الماء إلى حوض مقم القناة بأنبوب قطره  $15.24 \text{ cm}$  مثبت عليه صمام للتحكم بكمية التصريف، ويأخذ الأنابيب الماء من خزان أرضي في المختبر بواسطة مضخة يصل تصريفها التصميمي إلى  $(100 \text{ لتر/ث})$ .

رُفع مستوى أرضية القناة بمقدار  $30 \text{ cm}$  من بداية القناة بطول  $(3.44 \text{ m})$  يأتي بعده حوض تهيئة، بأبعاد  $3.0 \times 0.81 \text{ m}$ ، وبعمق  $0.3 \text{ m}$  كما مبين في الشكل (1)، بعدها تم تثبيت بوابة التحكم بعمق الماء نهاية حوض التهيئة، وتثبيت مقياسين للعمق على عربة تتحرك على طول القناة لأخذ القياسات، الأول - لقراءة عمق الماء الذيلي (Tailwater) في أثناء التشغيل، والثاني - لقياس عمق حفرة الجرف الحاصلة مؤخر الهدار وطولها.

يتصل بنهاية القناة حوض التصريف، وهي عبارة عن قناة بطول  $(8 \text{ m})$ ، وعمق  $(1.2 \text{ m})$ ، وعرض  $(0.81 \text{ m})$  ويوجد في نهايته تخصيص بطول  $(1.84 \text{ m})$ ، وارتفاع  $0.5 \text{ m}$  ثُبت فيه هدار حديد بقطع  $17 \text{ cm} \times 49.6 \text{ cm}$ ، وسمك  $(0.6 \text{ cm})$  لقياس تصريف الماء في القناة، وفي الجهة اليسرى للحوض وعلى بعد  $(1.75 \text{ m})$  من الهدار توجد بئر من الخرسانة بأبعاد  $15 \text{ cm} \times 15 \text{ cm}$ ، وبعمق  $(0.6 \text{ m})$ ، إحدى جهاتها زجاجية لكي يمكن ملاحظة مستوى سطح الماء فوق الهدار وقياسه بواسطة مقياس مثبت على الجزء الزجاجي منه.

ونظراً إلى طول المدة الزمنية اللازمة لحصول الاستقرار في عملية الجرف، ولكون كفاعة المضخة المجهزة للماء تتناقص إلى  $(75\%)$  تقريباً، فقد تم تجاوز هذه المشكلة بطريقة عمل مطحح جانبي بأبعاد  $(34 \text{ cm} \times 34 \text{ cm})$ ، وعلى مسافة  $(1.94 \text{ m})$  من بداية

كما يمكن صياغة علاقة لا بعديّة لطول حفرة الجرف بالشكل الآتي:

$$\frac{L_s}{d_m} = f \left( \frac{T_w}{d_m}, \frac{\rho_s}{\rho_w}, Re, Fr \right) \dots\dots (11)$$

إذ إنَّ:

$D_s/dm$  = نسبة عمق الجرف إلى معدل قطر مواد القاع.

$L_s/dm$  = نسبة طول حفرة الجرف إلى معدل قطر مواد القاع.

$T_w/dm$  = نسبة عمق الماء الذيلي إلى معدل قطر مواد القاع.

$\rho_s/\rho_w$  = النسبة بين كثافة مواد القاع إلى كثافة الماء.

$Re$  = رقم رينولد للجريان ويساوي  $(q \rho / \mu)$ .

$Fr$  = رقم فرود  $(v / \sqrt{g d_m})$ .

عندما تكون قيم رقم رينولدز عالية يصل الجريان إلى الاضطراب الكامل وعندها يض migliori تأثيره في القنوات المفتوحة الخشنة، وبذلك يمكن إهماله (Chow, 1959).

ويمكن كتابة المعادلات (10، 11) كالتالي:

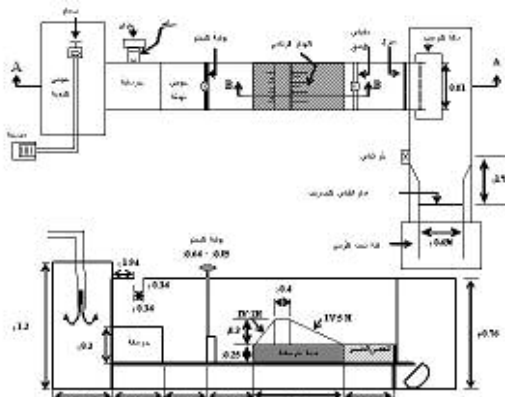
$$\frac{D_s}{d_m} = f \left( \frac{T_w}{d_m}, \frac{\rho_s}{\rho_w}, Fr \right) \dots\dots (12)$$

$$\frac{L_s}{d_m} = f \left( \frac{T_w}{d_m}, \frac{\rho_s}{\rho_w}, Fr \right) \dots\dots (13)$$

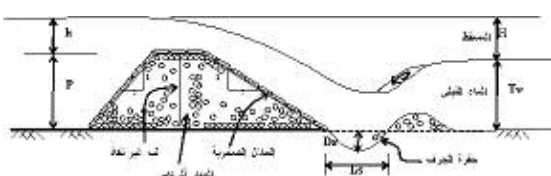
#### 4. العمل المختبري

إنَّ القناة المستخدمة في التجارب مشيدة من الخرسانة بطول  $(24.64 \text{ m})$ ، وعرض  $(0.81 \text{ m})$ ، وعمق  $0.76 \text{ m}$ ، لاحظ الشكل (1)، ومثبت على جداري القناة مقاطع من الألمنيوم (دكشن) على شكل زاوية وبشكل أفقى لغرض تثبيت مقياس العمق (Point Gauge) عليه. تحتوي القناة على نافذتين زجاجيتين بأبعاد  $(1 \times 0.5 \text{ m})$  مثبتة على الجانب الأيسر وعلى مسافة  $(12 \text{ cm})$  و  $(17.22 \text{ m})$  من بداية القناة على التوالي. تتصل

بعدها يرافق الجريان في القناة إلى حين الحصول على استقرار لسطح الماء وبعد مرور عدة ساعات من التشغيل والتتأكد من توقف الجرف تماماً يتم إيقاف المضخة والانتظار إلى حين بزل الماء.



المقطع (A-A)، الرسم دون مقياس



المقطع (B-B): مخطط توضيحي للهدار الركامى والجرف فى أثناء التشغيل

#### شكل (1) القناة المختبرية المستخدمة مع مخطط توضيحي لأحد النماذج

تعد التجربة بقطر الحصى المستخدم والتصريف والميل نفسه ولكن بعد غلق المبزل بقطعة خشبية بارتفاع (25، 27.5، 30، 32.5) سم أربع مرات على التوالي فضلاً عن إلى الحالة الأولى التي يكون فيها الجريان حرراً دون حاجز، حيث سيرتفع عمق الماء الذيلي في كل مرة أكثر من التي سبقتها.

تقاس مستويات القاع مؤخر الهدار الركامى طولياً وعرضياً بعد كل تجربة وعلى مسافة (4 سم) طولياً و(8 سم) عرضياً بين نقطة وأخرى لتحديد شكل القاع

القناة لحفظ على شحنة ثابتة في مقدم بوابة التحكم، ومن ثم الحصول على تصريف مستقر مع الزمن. أشئ الهدار الركامى على صبة خرسانية بارتفاع (0.25) م وطول (2.5) م، حيث كان ميل سفح المقدم (1V : 2H) وميل سفح المؤخر (5H : 1V). تم تثبيت قطعة بلاستيكية بابعاد (81 سم × 30 سم) وبسمك (0.6) سم لتمثل لب الهدار التي تم تثبيتها بجدار القناة بشكل عمودي ومحكم، بعدها تم فرش الحصى مقدم للب ومؤخره فوق الصبة الخرسانية مكوناً جسم الهدار، واستخدم حصى بمعدل قطر (1.111) سم فرشت فوقه سلال حصوية مستطيلة صنعت من أكياس مشبكة من النايلون بأبعاد (25 سم × 20 سم) مع باحة حصى بمعدل قطره (1.59) سم وبمعدل وزن (1150) غم صفت بطريقة الحل والشد. أما عرض قمة الهدار فقد كان (40) سم (حياوي، 2006). والشكل (1) يوضح مسقطاً رأسياً ومقطعاً طولياً للقناة المختبرية المستخدمة مع مخطط توضيحي لأحد نماذج الدراسة. تتلخص خطوات إجراء التجارب فرش الحصى مؤخر المنشأ بسمك (25) سم وطول (4) م ويتم التأكد من استواء الحصى بواسطة وزان البناء ذي الفقاعة الهوائية ويتم تصغير مقياس العمق على سطح الحصى واعتباره المستوى المعتمد كنقطة قياس أي نقطة الصفر، ويتم تثبيت مقدار فتحة بوابة التحكم لإمداد عمق الماء المطلوب فوق الهدار، وقد اعتمد تصريف ثابت لكل التجارب مقداره (20)  $l/sec/m$  تم احتسابه بواسطة هدار قياسي ضمن المعايير البريطانية (British Standard Institution, 1985) معايرته بالطريقة الحجمية وبشكل دقيق تصل دقتها إلى  $0.21/sec/m$ . تشغيل مضخة التجهيز ويفتح صمام السيطرة ببطء إلى أن يتم الحصول على التصريف المطلوب.

الخطية هي أفضل العلاقات بين عمق الجرف وهذه النسبة، كما يأتي:

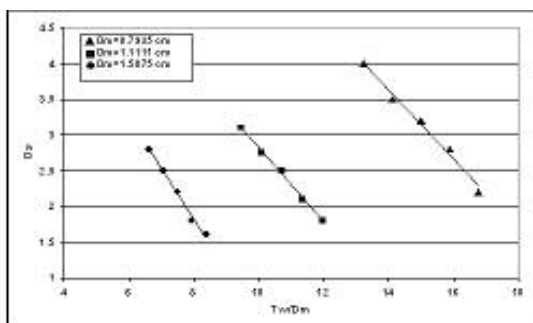
$$D_s = a_1 \times T_w/dm + b_1 \dots \dots (14)$$

استخدمت القياسات المختبرية التي تم الحصول عليها من التجارب لإيجاد قيم كل من ( $a_1$ ) و ( $b_1$ ) بثبوت التجارب التصريف والميل. وحسبت قيم هذه المعاملات للنماذج جميعها كما في الجدول (2) مع معامل التحديد للمعادلات. ولتوسيع تأثير ( $T_w/dm$ ) في عمق الجرف رسمت العلاقة بينهما، للميل ( $1V:5H$ ) ولنماذج الحصى الثلاثة المستخدمة في الدراسة كما موضحة في الشكل (2) حيث تراوحت قيم معامل الارتباط ( $R$ ) ما بين (0.9936) و (0.996) أما معامل التحديد ( $R^2$ ) فقد تراوحت قيمه ما بين (0.987) و (0.992)، كما لوحظ أنه كلما زاد عمق الماء الذيلي قل عمق الجرف، وذلك أن زيادة ارتفاع الماء الذيلي يؤدي إلى زيادة تبديد طاقة الماء الساقط المنحدر فوق الهدار نتيجة لارتفاعه بالماء الذيلي قبل الوصول إلى الحصى المفروش نهاية الهدار.

الجدول (2): قيم المعاملات  $a_1$  و  $b_1$  ومعامل التحديد للمعادلة

(14)

A النموذج ( $0.7935 = dm$ )			B النموذج ( $1.111 = dm$ )			C النموذج ( $1.5875 = dm$ )		
$a_1$	$b_1$	$R^2$	$a_1$	$b_1$	$R^2$	$a_1$	$b_1$	$R^2$
-0.486	10.441	0.987	-0.516	7.975	0.996	-0.704	7.457	0.992



الشكل (2): العلاقة بين عمق الجرف و (Tw/dm)

وأعمق الجرف الحاصل فيست أعمق الجرف بواسطة مقياس العمق (Point Gauge) الذي تصل دقت قياسه إلى (0.1) ملم. تفاصيل برنامج التجارب المختبرية موضحة في الجدول (1). استخدمت ثلاثة أحجام من الحصى مؤخر الهدار، الحجم الأول مار من منخل (9.525 ملم) ومرتد على منخل (6.35 ملم) أما الحجم الثاني فمار من منخل (12.7) ملم) ومرتد على منخل (9.525 ملم) والثالث مار من منخل (5.05 ملم) ومرتد على منخل (12.7) ملم). أما الكثافة الكلية للنماذج المستخدمة فكانت 2660 كغم/م<sup>3</sup>.

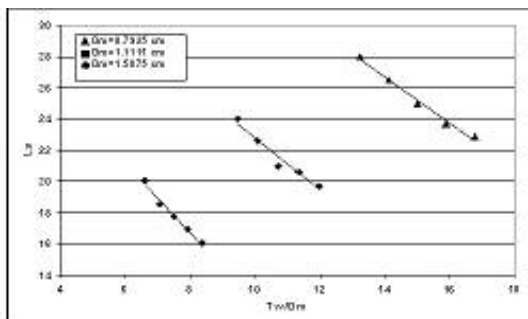
جدول (1) : برنامج التجارب المختبرية

ارتفاع الحاجز (سم)	طول حفرة Ls (سم)	عمق الجرف Ds (سم)	عمق الماء الذيلي (سم)	معدل قطر مواد القاع (dm)	نوع الحجارة
بدون حاجز	28.0	4	10.5	0.7935	1
25	26.5	3.5	11.2	0.7935	2
27.5	25.0	3.2	11.9	0.7935	3
30	23.7	2.8	12.6	0.7935	4
32.5	22.9	2.2	13.3	0.7935	5
بدون حاجز	24.0	3.1	10.5	1.111	6
25	22.5	2.75	11.2	1.111	7
27.5	21.0	2.5	11.9	1.111	8
30	20.6	2.1	12.6	1.111	9
32.5	19.7	1.8	13.3	1.111	10
بدون حاجز	20.0	2.8	10.5	1.5875	11
25	18.5	2.5	11.2	1.5875	12
27.5	17.7	2.2	11.9	1.5875	13
30	16.9	1.8	12.6	1.5875	14
32.5	16.0	1.5	13.3	1.5875	15

## 5. تحليل النتائج ومناقشتها:

1.5 العلاقة بين خصائص حفرة الجرف و المتغيرات اللابعدية

1.1.5 العلاقة بين عمق الجرف والنسبة بين عمق الماء الذيلي إلى معدل قطر مواد القاع ( $T_w/dm$ ). إن الغرض من البحث معرفة أهمية تأثير عمق الماء الذيلي إلى معدل قطر مواد القاع ( $T_w/dm$ ) في عمق الجرف حلت البيانات المختبرية، وُجد أن العلاقة



الشكل (3) : العلاقة بين طول حفرة الجرف و ( $T_w/dm$ ) و تستخدم المعادلات (15 ، 14) لمدى يتراوح مابين  $16.76 \geq T_w/dm \geq 6.6$ ).

6. تأثير المتغيرات البعدية في خصائص حفرة الجرف من المهم معرفة تأثير المتغيرات البعدية في خصائص حفرة الجرف ونسبة الزيادة في هذه المتغيرات مع الزيادة والتقصان في عمق حفرة الجرف وطولها. إذ تم تغيير عمق الماء الذيلي لدراسة تأثيره في طول حفرة الجرف وعمقها. وقد لوحظ أنه بزيادة عمق الماء الذيلي يقل عمق حفرة الجرف وطولها، والجداول (4) و (5) توضح النسبة المئوية للزيادة في عمق الماء الذيلي مع النسبة المئوية للتقصان في عمق حفرة الجرف وطولها على التوالي.

جدول (4): نسبة الزيادة في عمق الماء الذيلي مع نسبة التقصان في عمق الجرف

معدل نسبة التقصان	نسبة التقصان في عمق الجرف (%) (أقل نسبة - أعلى نسبة) للتقصان	نسبة الزيادة في عمق الماء الذيلي % ( $T_w$ )
% 11.50	(12.50-10.70)%	6.666
% 20.25	(21.40-19.35)%	13.33
% 32.65	(35.70-30.00)%	20.00
% 43.26	(45.00-41.93)%	26.66

جدول (5): نسبة الزيادة في عمق الماء الذيلي مع نسبة التقصان في طول حفرة الجرف

2.1.5 العلاقة بين طول حفرة الجرف والنسبة بين عمق الماء الذيلي إلى معدل قطر مواد القاع  $(T_w/dm)$ .

نظراً إلى أهمية دراسة طول حفرة الجرف وعلاقتها مع  $(T_w/dm)$  حللت البيانات المختبرية ووجد أن العلاقة الخطية هي أفضل العلاقات بين طول حفرة الجرف وهذه النسبة كما يأتي:

$$L_s = a_2 \times (T_w/dm) + b_2 \dots (15)$$

تم إيجاد قيم  $(a_2)$  و  $(b_2)$  بثبوت كل من التصريف والميل كما هي موضحة في الجدول (3) مع معامل التحديد للمعادلات. كما رسمت العلاقة بين طول حفرة الجرف للميل (1V:5H) ولنمذاج الحصى الثلاثة المستخدمة في الدراسة كما في الشكل (3)، حيث تراوحت قيم الارتباط ( $R$ ) مابين (0.978) و (0.994) أما قيم معامل التحديد ( $R^2$ ) فقد تراوحت قيمه بين (0.956) و (0.988) إذ يلاحظ من الشكل (3) أنه كلما ازداد ارتفاع الماء الذيلي قل امتداد طول حفرة الجرف المكونة خلف الهدار وذلك لأن زيادة ارتفاع الماء الذيلي يؤدي إلى زيادة تبديد طاقة الماء الساقط المنحدر فوق الهدار نتيجة لارتطامه بالماء الذيلي قبل الوصول إلى الحصى المفروش نهاية الهدار. عليه إن طول حفرة الجرف يتاسب تناسباً عكسياً مع عمق الماء الذيلي بثبوت كل من الميل والتصريف.

الجدول (3): قيم المعاملات  $a_2$  و  $b_2$  ومعامل التحديد للمعادلة (15)

A التموزج (sm 0.7937 = dm)			B التموزج (sm 1.111 = dm)			C التموزج (sm 1.5875 = dm)		
$a_2$	$b_2$	$R^2$	$A_2$	$b_2$	$R^2$	$a_2$	$b_2$	$R^2$
-1.473	47.301	0.988	-1.683	39.6	0.956	-2.182	34.17	0.982

من المنظور الأفقي". مجلة هندسة الرافدين، المجلد 15 العدد 2.

4. Jaeger, C. (1939), "Ueber die Aehnlichkeit bei Flussaulichen Modeellrer suchen", W.U.W. 34, No. 23-24, 269.
5. Mason, P.J. and Kanapathypilly, A. (1985), "Free Jet Scour Below Dams and Flip Buckets", Journal of Hydraulic Engineering, ASCE, Vol. 111, No.2, FEB.
6. US.B.R. (1995), "Stream Stability at Highway Structures" Hydraulic Engineering Circular No.20, Federal Highway Administration.
7. Chow, V.T. (1959), "Open Channel Hydraulics", Mac Graw – Hill International Company, International Student Edition.

نسبة النقصان في طول حفرة الجرف (%) % (Ls)	(أقل نسبة - أعلى نسبة) معدل نسبة النقصان	نسبة الزيادة في عمق الماء الذيلي %Tw
%6.369	% (7.5 - 5.357)	6.666
%11.571	% (12.5-10.714)	13.33
%14.975	% (15.5-14.167)	20.00
%18.829	% (20.0-17.917)	26.66

## 7. الاستنتاجات

1. تم الحصول على علاقة عكسية بين عمق الجرف ( $D_s$ ) والنسبة بين عمق الماء الذيلي إلى معدل قطر مواد القاع ( $Tw/dm$ ). واتضح بأن العلاقة الخطية هي أفضل العلاقات التي تصف تأثير هذه النسبة في عمق الجرف علاقة (14).

2. اتضح بأن هناك علاقة عكسية بين طول حفرة الجرف ( $L_s$ ) و ( $Tw/dm$ ) وأن العلاقة الخطية هي أفضل العلاقات التي تصف تأثير هذه النسبة في طول حفرة الجرف علاقة (15).

## 8. المصادر

1. حياوي، غنية عبد المجيد، (2006)، "دراسة مختبرية لحماية سفح المؤخر للهدارات الركامية باستخدام السلال الصخرية"، أطروحة دكتوراه، قسم الموارد المائية، كلية الهندسة، جامعة الموصل، كانون الثاني.
2. داؤد، علاء مؤيد (1995) "العلاقة بين عمق الماء والجرف في مؤخر المدفع القافز"، رسالة ماجستير مقدمة إلى كلية الهندسة بجامعة الموصل، في قسم هندسة الري والبزل، كانون الثاني.
3. نوري، بهزاد محمد علي والحافظ، إبراهيم عادل إبراهيم، (2007)، "دراسة مختبرية للنحر في الأرضيات الحجرية مؤخر السدود الغاطسة المتباينة تاريخ ورود البحث إلى مجلة جامعة دمشق: 16/12/2008.